

19. Дреус А. Ю., Кожевников А. А. Определение коэффициента распределения тепловых потоков на забое при бурении скважины // Вісн. нац. гірн. ун-ту. – 2007. – № 8. – С 54–56.
20. Дреус А. Ю., Кожевников А. А., Чайка А. И. О моделировании процессов теплопереноса на забое при бурении скважины // Пром. теплотехника. – 2007. – Т. 29. – №3. – С.29–35.
21. Дреус А. Ю. Кожевников А. А., Мартыненко И. И. Исследование температурного режима алмазной коронки при импульсной промывке // Вісн. нац. гірн. ун-ту. – 2005. – № 12. – С.64–68.
22. Тепловое поле алмазной коронки при бурении с нестационарным режимом промывки скважины / А. А. Кожевников, С .В. Гошовский, А. Ю. Дреус, И. И. Мартыненко // Доп. НАН України. – 2007. – №2. – С. 62–67.

Поступила 17.06.15

УДК 622.24.053

**О. О. Кожевников**, д-р техн. наук, **Ю. Л. Кузін**, канд., техн., наук, **О. А. Лексіков**

*Державний вищій навчальний заклад «Національний гірничий університет», Україна*

## **ТЕОРЕТИЧНІ ДОСЛІДЖЕННЯ ВПЛИВУ КІЛЬКОСТІ ПРОМИВНОЇ РІДИНИ ТА ТОВЩИНИ СТІНКИ БУРИЛЬНОЇ ТРУБИ НА ВИТРАТИ НАПОРУ В КОМБІНОВАНІЙ БУРИЛЬНІЙ КОЛОНІ.**

*Представлены результаты теоретических исследований зависимости потерь напора в бурильных трубах с различной толщиной стенки с целью определения возможностей существующего бурового оборудования.*

**Ключевые слова:** толщина стенки бурильной трубы, потери напора, промывочная жидкость, параметры режима бурения.

### **Вступ**

Для підвищення осьового навантаження одним зі шляхів використання комбінованих колон, що складаються зі стандартних бурильних труб у верхній частині, а у нижній, стиснутій, із внутрішнім діаметром меншим, ніж у стандартних[1; 2].

**Метою роботи є** теоретично дослідити вплив кількості промивної рідини та товщини стінки на втрати тиску в комбінованій бурильній колоні.

При застосуванні комбінованої бурильної колони, яка зібрана з стандартних бурильних труб (СБТ) та обважнених бурильних труб (СБТО) з товщиною стінки більшою ніж у СБТ особливе значення для розрахунків втрат тиску промивної рідини мають втрати тиску у гладкій частині СБТО.

Для прикладу розглянемо бурильну колону, що складена з труб з зовнішнім діаметром 50 мм, у якої нижня частина має обважнені бурильні труби з товщиною стінки 7,5; 9,5; 11,5; 13,5; 15,5; 17,5 та 19,5мм. Зі збільшенням товщини стінки обважнених бурильних труб зменшується їх внутрішній діаметр.

Обчислювали тільки втрати тиску у гладкій частині обважнених бурильних труб як найсуттєвіших порівняно з втратами тиску у з'єднаннях.

Розрахунки здійснювали за таких параметрів колони, свердловини та промивної рідини:

Довжина бурильної колони  $L = 1000$  м;

Витрати промивної рідини  $Q = 60; 80; 100$  л/хв;

Густина промивної рідини  $\gamma = 1000$  кг/м<sup>3</sup>;

Зовнішній діаметр бурильної трубы  $d_{zn} = 50$  мм;

Товщина стінки стандартної бурильної трубы  $\delta = 5,5$  мм;

Товщина стінки обважненої бурильної трубы  $\delta = 7,5; 9,5; 11,5; 13,5; 15,5; 17,5$  та 19,5 мм.

Втрати тиску у гладкій частині колони бурильних труб були обчислені за формулою [3]

$$P = 82,6 \cdot 10^{-7} \lambda \gamma Q^2 \frac{L}{d_B^5}, \text{ Па} \quad (1)$$

де  $\lambda$  – коефіцієнт гіdraulічних опорів при течії промивної рідини в бурильних трубах;  $d_B$  – внутрішній діаметр бурильних труб, м.

У свою чергу

$$d_B = d_{3H} - 2\delta . \quad (2)$$

тоді

$$P = 82,6 \cdot 10^{-7} \lambda \gamma Q^2 \frac{L}{(d_{3H} - 2\delta)^5}, \text{ Па.} \quad (3)$$

При застосуванні комбінованої бурильної колони, яка складається з двох дільниць, одна з котрих складена з СБТ, а інша – з СБТО за рахунок збільшення товщини стінки, втрати тиску у гладкій частині комбінованої колони обчислюють як суму втрат тиску у гладкій частині СБТ та втрат тиску у гладкій частині СБТО, тобто

$$P_1 = P'_1 + P''_1, \quad (4)$$

де  $P'_1$  – втрати тиску у гладкій частині СБТ, Па,

$$P'_1 = 82,6 \cdot 10^{-7} \lambda \gamma Q^2 \frac{L - l_0}{(d'_{3H} - 2\delta')^5} \quad (5)$$

або залежно від товщини стінки бурильної труби  $\delta'$

$$P'_1 = 82,6 \cdot 10^{-7} \cdot 0,1 \left( 1,46 \frac{\Delta_3}{d'_{3H} - 2\delta'} + \frac{4Q100}{\pi(d'_{3H} - 2\delta')\nu} \right)^{0,25} \gamma Q^2 \frac{L - l_0}{(d'_{3H} - 2\delta')^5}, \text{ Па;} \quad (6)$$

де  $l_0$  – довжина нижньої частини колони бурильних труб, що складається з СБТО, м,  $d'_{3H}$  – зовнішній діаметр СБТ, м;  $\delta'$  – товщина стінки СБТ, м,

$$\Delta_3 = L - l_0.$$

$P''_1$  – втрати тиску у гладкій частині СБТО, Па;

$$P''_1 = 82,6 \cdot 10^{-7} \lambda \gamma Q^2 \frac{l_0}{(d''_{3H} - 2\delta'')^5}, \quad (7)$$

або в залежності від товщини стінки бурильної труби  $\delta''$

$$P''_1 = 82,6 \cdot 10^{-7} \cdot 0,1 \left( 1,46 \frac{\Delta_3}{d''_{3H} - 2\delta''} + \frac{4Q100}{\pi(d''_{3H} - 2\delta'')\nu} \right)^{0,25} \gamma Q^2 \frac{l_0}{(d''_{3H} - 2\delta'')^5}, \text{ Па,} \quad (8)$$

де:  $d''_{3H}$  – зовнішній діаметр СБТО, м;  $\delta''$  – товщина стінки СБТО, м.

Для розрахунку втрат тиску у нижній частині бурильної труби довжина нижньої частини СБТ приймаємо еквівалентною довжині нижньої частини СБТО, тобто

$$l_{0_{CБT}} = l_{0_{CБTO}} \quad (9)$$

Втрати тиску на 1 м у нижній гладкій частині бурильної колони обчислюють за формулою (1) де  $l_0 = 1$  м, тобто

$$P''_1 = 82,6 \cdot 10^{-7} \cdot 0,1 \left( 1,46 \frac{\Delta_3}{d''_{3H} - 2\delta''} + \frac{4 \cdot Q \cdot 100}{\pi(d''_{3H} - 2\delta'')\nu} \right)^{0,25} \gamma Q^2 \frac{1}{(d''_{3H} - 2\delta'')^5} \quad (10)$$

Різницю між втратами тиску на 1 м у гладкій нижній частині бурильної колони, яка зібрана з СБТУ, та втратами тиску на 1 м у нижній гладкій частині колони, що зібрана з СБТ залежно від витрат промивної рідини, осьового навантаження на породоруйнівний інструмент та товщини стінки бурильної труби обчислюють за формулою

$$\Delta P_{1m} = P_{1m_{CБTO}} - P_{1m_{CБT}}, \text{ Па} \quad (11)$$

Різницю між втратами тиску у гладкій нижній частині бурильної колони, яка складається з СБТО, та витратами тиску у нижній гладкій частині колони, що складається з СБТ залежно від витрат промивної рідини, осьового навантаження на породоруйнівний інструмент та товщини стінки бурильної труби обчислюють за формулою

$$\Delta P = (P_{1m_{CБTO}} \cdot l_{0_{CБTO}} - P_{1m_{CБT}} \cdot l_{0_{CБT}}), \text{ Па,} \quad (12)$$

де  $l_{0_{CБT}} = l_{0_{CБTO}}$ .

Залежність  $\Delta P$  від товщини стінки бурильної труби наведена на рис. 1.

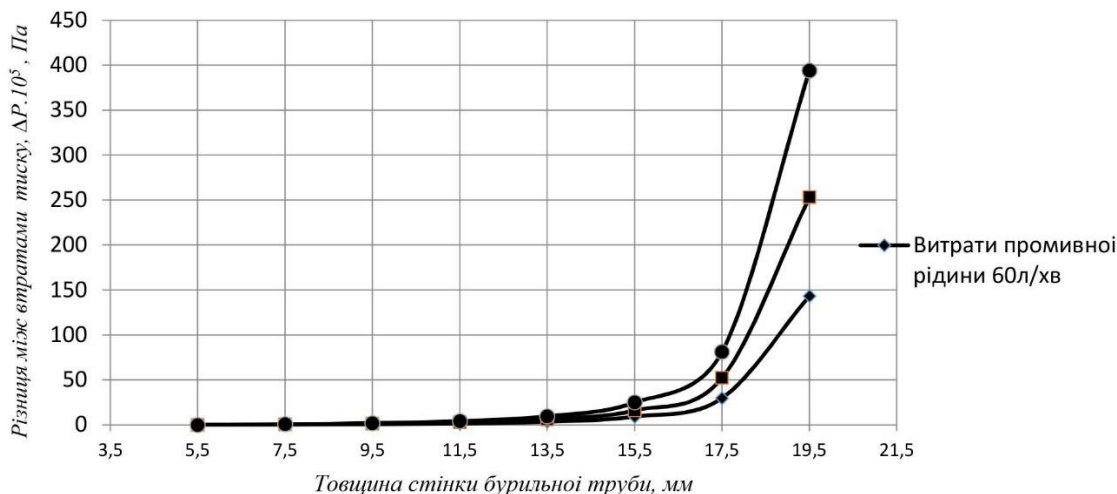


Рис. 1. Залежність різниці між втратами тиску, ( $\Delta P \cdot 10^5, \text{ Па}$ ) від товщини стінки бурильної труби за різних витрат промивної рідини

Коефіцієнт, що відображає перевищення втрат тиску в нижній частині колони, що складена СБТО у порівнянні з втратами тиску в нижній частині колони, яка складена з СБТ при довжині труби 1 м розраховують за формулою:

$$K_p = \frac{P_{1,MCBT}}{P_{1,MCBT}}. \quad (13)$$

Залежність  $K_p$  від товщини стінки бурильної труби наведена нарис. 2.

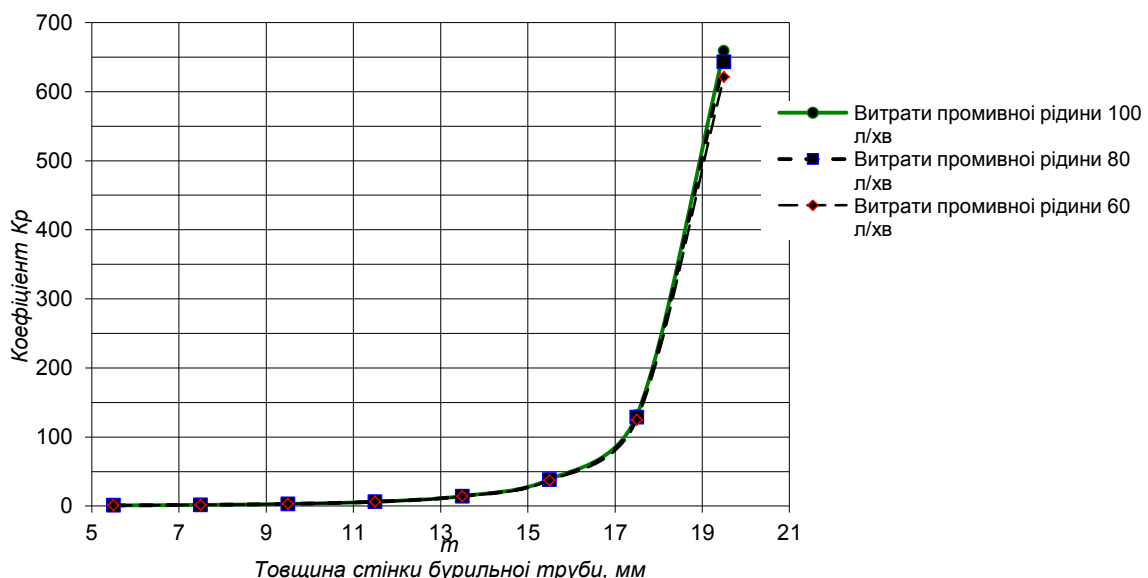


Рис. 2. Залежність коефіцієнта  $K_p$  від товщини стінки бурильної труби при різних витратах промивної рідини

### Висновки

За розрахунком втрат тиску в комбінованій колоні бурильних труб можна проектувати конструкцію колони, що забезпечуватиме необхідне осьове навантаження та кількість промивної рідини в межах можливостей існуючого обладнання.

Наведено результати теоретичних досліджень залежностей втрат тиску в бурильних трубах з різною товщиною стінки з метою визначення можливостей існуючого бурового обладнання.

**Ключові слова:** товщина стінки бурильної труби, втрати тиску, промивна рідина, параметри режиму буріння.

*Presents the results of theoretical studies of the dependence of the pressure losses in the drill pipe with different wall thickness to determine the capabilities of the existing drilling equipment.*

**Key words:** the thickness of drill pipe, head loss, the flushing fluid, the parameters of drilling mode.

### Література

1. Залежність між теоретичною масою метра труби та товщиною стінки / А. О. Кожевников, Ю. Л. Кузін, О. А. Лексиков // Гірнича електромеханіка та автоматика: Наук. - техн. зб. – 2004. – Вип.72. – С.102–107.
2. Залежності геометричних характеристик бурильної труби від товщини стінки / С. В. Гошовський, А. О. Кожевников, Ю. Л. Кузін та ін.// Наук. Вісн. НГУ. – 2004. – № 4. С. 58–62.
3. Ганджумян Р. А. Практические расчёты в разведочном бурении.– М.: Недра – 1986. –253 с.

Поступила 16.06.15

УДК 622.24.051

**М. В. Супрун; В. І. Куш, д-р фіз.-мат. наук, А. П. Закора, Р. К. Богданов,** кандидати технічних наук

*Інститут надтвердих матеріалів ім. В. М. Бакуля НАН України, м. Київ*

### МОДЕЛЮВАННЯ ЗНОШУВАННЯ ТА ФОРМОЗМІНИ РОБОЧОЇ ПОВЕРХНІ БУРОВОЇ КОРОНКИ

*Запропоновано модель зношування робочої поверхні бурової коронки, що базується на чисельному аналізі модельної контактної крайової задачі механіки деформованого твердого тіла і забезпечує облік не тільки кінематики процесу буріння, а й специфіки контактної взаємодії інструменту і породи.*

**Ключові слова:** імпрегнована коронка, модель зношування, профіль, контактна взаємодія, метод скінченних елементів.

Найважливішим конструктивним геометричним параметром алмазної імпрегнованої бурової коронки є профіль робочої поверхні.

Нині доволі важко зберегти задану форму профілю робочого торця до повного відпрацювання бурової коронки без додаткового оснащення матриці армуочими породоруйнівними елементами. У цьому зв'язку актуальна мета – якнайточніше змоделювати знос і зміну форми робочої поверхні імпрегнованої бурової коронки для того, щоб можна було визначити найбільш вразливі місця на робочому торці матриці.

В останні десятиліття запропоновано значну кількість рівнянь зношування, що базуються на концепціях механіки руйнування. Ці рівняння включають характеристики втомної міцності матеріалів [1], граничні напруги крихкого руйнування [2], критичні значення енергії абсорбції [3] та ін. Такі теорії значно розширяють кількість параметрів, які впливають на зношування, включаючи параметри, що характеризують властивості матеріалів. Рівняння зношування, отримані при вивченні різних механізмів зношування наведено у таблиці [4].

У таблиці  $H$  означає твердість матеріалу, коефіцієнт  $K$  має певне значення для кожного конкретного механізму зношування і моделі, використаної для його вивчення. Як випливає з наведених рівнянь, основними зовнішніми характеристиками, що впливають на швидкість зношування, є контактний тиск  $p$  і відносна швидкість ковзання  $V$ . Результати аналізу великої кількості рівнянь зношування, отриманих як теоретично, так і на підставі опрацювання результатів трибологічних випробувань на зношування, засвідчують, що в багатьох випадках залежність швидкості зношування від тиску і швидкості ковзання можливо навести у вигляді [3]  $\frac{\partial w_*}{\partial t} = K_w p^\alpha V^\beta$ ,

де параметри  $K_w, \alpha, \beta$  є функціями не лише матеріалу, що зношується, а усього процесу контактної взаємодії. Щодо теоретичних постановок зносоконтактних задач, див. напр. [4].